

## MENDAPATKAN YOUNG'S MODULUS FASA $Cu_6Sn_5$ DENGAN TEKNIK ULTRASONIK DAN TEORI KOMPOSIT

Ellyza Herda

Bagian Ilmu Material Kedokteran Gigi, Fakultas Kedokteran Gigi Universitas Indonesia

Ellyza Herda. Mendapatkan Young's Modulus fasa  $Cu_6Sn_5$  dengan teknik ultrasonik dan teori komposit. Jurnal Kedokteran Gigi Universitas Indonesia 2002; 9(3): 10-12

### Abstract

The purpose of this study is to obtain the Young's Modulus (elastic property) of  $Cu_6Sn_5$  phase by using ultrasonic technique and composite theory. Alloy with the following composition (weight percent = wt%): 15.00 % Cu and 85.00 % Sn was fabricated by casting method. Phases identification were determined by using X-ray Diffraction (XRD), Differential Scanning Calorimeter (DSC), and Scanning Electron Microscope (SEM) + EDAX (Energy Dispersive X-ray Analysis). A non destructive technique is preferable evaluation method for evaluation the elastic property of material, that is by utilizing longitudinal and transversal waves velocity employed by ultrasonic pulse-echo method. X-ray diffraction, DSC, and SEM+EDAX analysis indicate that the fabricated Cu-85%Sn alloy produce a composite *in situ* material which consist of Sn as a matrix (0.67 volume fraction) and  $Cu_6Sn_5$  phase as a reinforcing material (0.33 volume fraction). The Young's Modulus value of Cu-85%Sn is 67.7 GPa. This value is base on the calculating result on the longitudinal and transversal waves velocity. In order to obtain the Young's Modulus of reinforcement ( $Cu_6Sn_5$  phase) the composite theory was applied to this material (Cu-85%Sn), and the resulted value is 103.8 GPa.

### Pendahuluan

Fasa  $Cu_6Sn_5$  ( $\eta$ ) dibangun Kedokteran Gigi dapat ditemukan pada material tambal amalgam. Fasa ini adalah hasil reaksi paduan amalgam tembaga tinggi dengan Merkuri. Sebagai produk reaksi yang paling awal maka posisi

fasa  $Cu_6Sn_5$  berada pada intergranular dan tertanam didalam matriks amalgam yaitu fasa  $Ag_2Hg_3^{1-3}$ . Jumlah fasa  $Cu_6Sn_5$  dan sifat kekauannya mempengaruhi sifat mulur (creep) dari amalgam. Semakin kaku (yang diukur dari nilai Young's Modulus) dan semakin besar jumlah fasa  $Cu_6Sn_5$  semakin kecil

mulur yang terjadi di dalam bahan tambal amalgam. Sampai saat ini belum ada penelitian yang menghitung nilai Young's Modulus dari fasa  $Cu_6Sn_5$  ini.

Berdasarkan diagram fasa Cu-Sn, untuk mendapat-kan fasa tunggal  $Cu_6Sn_5$  ( $\eta$ ) dapat dibuat dengan komposisi Cu (tembaga) + Sn (timah) dalam rentang yang sangat

sempit yaitu 59,0– 60,9 wt%<sup>4</sup>. Namun untuk menghasilkan fasa tunggal Cu<sub>6</sub>Sn<sub>5</sub> sangat sulit, karena rentang yang sempit dan sulitnya dicapai kesetimbangan pada proses pembekuan. Fairhurst dkk<sup>5</sup> berhasil membuat fasa Cu<sub>6</sub>Sn<sub>5</sub> dengan cara mencampur Tembaga (Cu) dengan 95 wt% Sn. Paduan yang dihasilkan adalah fasa Cu<sub>6</sub>Sn<sub>5</sub> dan fasa Sn. Selanjutnya Timah dilarutkan dengan asam kuat sehingga dapat fasa Cu<sub>6</sub>Sn<sub>5</sub>.

Pada penelitian ini dibuat paduan dengan komposisi Tembaga (Cu) 15,00% + 85% Sn untuk mendapatkan fasa Cu<sub>6</sub>Sn<sub>5</sub>. Identifikasi fasa dideteksi dengan Diffraksi Sinar-X (XRD), Differential Scanning Calorimeter (DSC), dan Scanning Electron Microscope (SEM) + EDAX (Energy Dispersive X-ray Analysis). Kecepatan rambat gelombang longitudinal dan transversal didalam paduan Cu – 85%Sn didapat dengan teknik ultrasonik. Selanjutnya Young's Modulus fasa Cu<sub>6</sub>Sn<sub>5</sub> dihitung dengan teori komposit.

## Bahan dan Cara Kerja

Dibuat paduan Tembaga (Cu) 15,00% (dalam berat = wt%) dengan Timah (Sn) 85,00 wt%. Temperatur peleburan adalah 1100°C. Dari hasil penuangan didapat ingot berukuran 3,5 x 3,0 x 1,5 cm yang pendinginannya dibiarkan diudara terbuka. Ingot dikupas dengan mesin bubut sehingga didapat spesimen paduan Cu-85%Sn berukuran 3 x 2,5 x 1 cm. Dari spesimen ini dibuat spesimen untuk pengujian XRD, DSC, dan SEM + EDAX.

Kecepatan rambat gelombang longitudinal dan transversal didalam paduan Cu-85%Sn diukur dengan teknik ultrasonik. Selanjutnya Young's Modulus paduan Cu-85%Sn dihitung dengan persamaan berikut<sup>6</sup>:

$$E = \rho V_t^2 (3V_L^2 - 4V_t^2 / V_L^2 - V_r^2) \dots (1)$$

E = Young's Modulus

$\rho$  = Densitas

V<sub>T</sub> = Kecepatan gelombang Transversal

V<sub>L</sub> = Kecepatan gelombang Longitudinal

Untuk mendapatkan Young's Modulus fasa Cu<sub>6</sub>Sn<sub>5</sub> digunakan model Voight<sup>7</sup> yang juga disebut hukum pencampuran, dan persamaannya adalah sebagai berikut:

$$E_k = V_m E_m + V_p E_p \dots (2)$$

E<sub>k</sub> = Young's Modulus

Komposit material

V<sub>m</sub> = Fraksi Volume matriks

E<sub>m</sub> = Young's Modulus matriks

V<sub>p</sub> = Fraksi Volume penguat

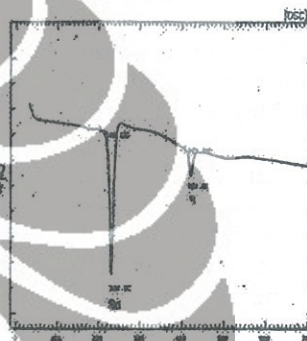
E<sub>p</sub> = Young's Modulus penguat

Tabel 1. Analisa pola diffraksi dari paduan Cu-85%Sn.

2θ (deg)	d (Å)	A <sub>r</sub>	Identifikasi Fasa
35.250	2.957	6.79	Cu <sub>6</sub> Sn <sub>5</sub>
35.765	2.916	8.11	Sn
37.48	2.787	20.9	Sn
50.835	2.086	14.73	Cu <sub>6</sub> Sn <sub>5</sub>
51.480	2.062	3.99	Sn
52.72	2.017	13.02	Sn
65.31	1.659	3.39	Sn
74.170	1.486	9.74	Cu <sub>6</sub> Sn <sub>5</sub>
76.735	1.443	4.61	Sn
86.740	1.304	2.74	Sn
87.565	1.294	2.71	Sn
95.945	1.205	6.3	Sn

Fraksi volume Cu<sub>6</sub>Sn<sub>5</sub> = 0.33

Fraksi volume Sn = 0.67



Gambar 1. Termogram paduan Cu-85%Sn.



Gambar 2. SEM Micrograph dan hasil EDAX paduan Cu-85%Sn.

Hasil pengukuran densitas pada paduan Cu-85% Sn memberikan hasil sebesar 7555 kg/m<sup>3</sup>. Kecepatan rambat gelombang longitudinal didalam paduan Cu-85%Sn adalah 3549 m/detik. Sedangkan kecepatan rambat gelombang transversalnya 1846 m/detik. Dengan menggunakan persamaan 1 didapat Young's Modulus paduan Cu-85%Sn sebesar 67.7 GPa. Selanjutnya dengan persamaan 2 Young's Modulus fasa Cu<sub>6</sub>Sn<sub>5</sub> dapat dihitung yaitu sebesar 103.8 GPa.

## Pembahasan

Menurut Matthews dan Rawling<sup>8</sup> komposit material adalah campuran dua atau lebih konstituen/fasa yang berbeda. Kedua fasa mempunyai proporsi yang tertentu dan sifat-sifat yang berbeda. Fasa yang berjumlah besar dan kontinyu disebut matriks sedang fasa kedua disebut penguat. Dari hasil analisa difraksi sinar-x, DSC dan SEM + EDAX pembuatan paduan Cu-85%Sn menghasilkan 2 fasa yaitu Sn dan fasa  $Cu_6Sn_5$ . Kedua fasa ini mempunyai sifat yang berbeda (dapat dilihat dari temperatur endotermikya). Ditinjau dari jumlah masing-masing fasa dimana Sn 0,67 fraksi volume dan  $Cu_6Sn_5$  0,33 ditunjang lagi oleh gambaran struktur mikronya maka pembuatan paduan Cu-85%Sn menghasilkan suatu komposit material in situ dengan fasa Sn sebagai matriks dan fasa  $Cu_6Sn_5$  penguatnya. Komposit in situ adalah komposit yang partikel penguatnya terbentuk saat komposit tersebut diproses dan partikel penguat yang terjadi secara in situ cenderung mempunyai distribusi dan ikatan yang kuat dengan matriksnya dalam hal ini Sn<sup>9</sup>.

Dengan mengukur kecepatan gelombang longitudinal dan transversal pada paduan Cu-85%Sn dapat dihitung Young's Modulus paduan tersebut atau komposit material in situ yang mempunyai matriks Sn dan penguat fasa  $Cu_6Sn_5$ . Sebagai komposit material maka persamaan 2 dapat diaplikasikan untuk paduan Cu-85%Sn, sehingga didapat Young's Modulus penguat yaitu fasa  $Cu_6Sn_5$  yang besarnya 103.8 GPa.

Sampai saat ini belum ada penelitian yang melakukan penghitungan terhadap besarnya Young's Modulus fasa  $Cu_6Sn_5$ . Fasa  $Cu_6Sn_5$  merupakan produk reaksi dari paduan amalgam tembaga tinggi dengan merkuri. Beberapa peneliti<sup>10-12</sup> menyatakan bahwa fasa  $Cu_6Sn_5$  berada pada butir dan batas butir dari matriks (fasa  $Ag_2Hg_3$ ) komposit amalgam sehingga fungsinya adalah memperkuat matriks. Dari hasil penelitian Grenoble Dan Katz<sup>13</sup> didapat Young's Modulus fasa  $Ag_2Hg_3$  sebesar 73 GPa. Dengan adanya penguat fasa  $Cu_6Sn_5$  yang mempunyai Young's Modulus 103.8 GPa pada matriks  $Ag_2Hg_3$  maka didapat bahan tambal amalgam yang kuat. Salah satu sifat komposit amalgam yang sering menyebabkan patah tepi tambalan adalah sifat mulur (creep). Sifat mulur ini disebabkan adanya pergelinginan batas butir dari butir-butir matriks-/ $Ag_2Hg_3$ <sup>14-16</sup>. Dengan adanya partikel  $Cu_6Sn_5$  yang kuat dan berada diantara batas butir maka pergelinginan batas butir matriks dapat dikurangi.

## Daftar Pustaka

1. Okabe T, Mitchell R, Butts MB, Wright AH, and Fairhurst CW. A study of High Copper Amalgam I. A Comparison of Amalgamation on High Copper Alloy Tablet. *J Dent Res* 1978; 57 : 759-67.
2. Waterstaat RN. On the History of Intermetallics in Dentistry. *Journal of the Minerals, Metals, and Materials Society*. 1990; 42 : 88-94.
3. Okabe T, Mitchell R, Butts MB, and Fairhurst CW. A study of High Coper Amalgam III. SEM Observations of Amalgamation of High Copper Powders. *J Dent Res* 1978; 57 : 975-82.
4. ASM, ASM Handbook. *Alloy Phase Diagrams*. Vol 3. Ohio : ASM International, 1992.
5. Fairhurst CW, Marek M, and Butts MB. New Information of High Copper Amalgam Corrosion. *J Dent Res*. 1978; 56:725-9.
6. Grenoble DE, and Katz JL. The Pressure Dependence of the Elastic Constants of Dental Amalgam. *J Biomed Mater Res* 1971; 5: 489-502.
7. Voight W. Lehrbuch der Kristallphysik. Teubner, Leipzig. 1910. Dalam Katz, J.L., and Grenoble, D.E. A Composite model of the Elastic Behavior of Dental Amalgam. *J Biomed Mater Res* 1971; 5 : 515-27.
8. Matthews FL, and Rawlings RD. *Composite Materials : Engineering and Science*. 1<sup>st</sup> ed. London : Chapman & Hall. 1994.
9. Yu Yong Chen, and Chung DDL. In-Situ Al-Ti-B Composite Obtained by Stir Casting. *J Mater Sci* 1996; 31: 311-5.
10. Marzouk MA, Simonton AL, and Bross RD. *Operative Dentistry Modern Theory and Practice*. 1<sup>st</sup> ed. St. Louis : Ishiyaku Euro America Inc. 1985 : 105-18.
11. Philips RW. *Skinner's Science of Dental Materials*. 8<sup>th</sup> ed. Philadelphia : W.B. Saunders. 1982 : 302-54.
12. Grenoble DE, and Katz L. The Elastic Constants of the Constituent Phases of Dental amalgam. *J Biomed Mater Res*. 1971, 5 : 503-13.
13. Mahler DB, Adey JD, and Marantz RL. Creep Versus Microstructure of  $\gamma_2$ -containing Analysis. *J Dent Res* 1977; 56: 1493-9.
14. Hero. On Creep Mechanism in Amalgams. *J Dent Res* 1983; 62 : 44-50.
15. Espervik S. Creep of Dental Amalgam and Its Phases. *Scan J Dent Res* 1977; 85 : 292-5.
16. Mahler DB, and Adey JD. Factors Influencing the Creep of Dental Amalgam. *J Dent Res* 1991; 70 : 1394-400.

## Acknowledgement

Penulis mengucapkan terima kasih atas bantuan Dr. A. Trisnobudi selama melakukan pengujian ultrasonik.